

창 립
40주년 학술대회
논문 87-L-20-2

로보틱 매니퓰레이터의 최적 경로 제어

*박 현우 배운경 박종국
경희대학교 전자공학과

Optimal trajectory control of robotic manipulators

*Hyun-Woo Park, Jun-Kyung Bae, Chong-Kuk Park
Kyung Hee University

A B S T R A C T

Recently, the problems associated with the achievement of desired trajectories for non-linear robotic manipulatory systems are researched. The control system which is designed for this robot manipulator, poses a number of severe problems. The methods proposed to deal with the problem fall loosely into three main classes : "direct", "adaptive", "anthropomorphic". Besides, there is an approach which is described based upon the application of optimal control theory. In this paper, using the optimal theory, we choose error-coordinates between the desired trajectories and the practical as the state values, and determine the control law U which minimize a corresponding performance criterion. Let's consider the robotic arm proposed by Freund and set up the deviations of it's trajectory as a measure of performance. To find the optimal control law U^* and the next state value which need to obtain U^* , here, we should introduced the conjugate gradient algorithm and the Runge Kutta method.

I. 서 론

로보틱 매니퓰레이터는 조인트로 연결된 여러 개의 강체 링크로 구성되어 있으며, 로보트의 제어 방법은 대개 로보트 팔의 end effector나 tool이 원하는 목적지에 도달하도록 조인트 모터에 power input을 인가하는 것이다. 이러한 제어 시스템 설계에 있어 발생하는 여러가지 복잡한 제어 문제를 해결하기 위해 대개 다음과 같은 세 가지 방법을 이용한다.

- 1) "direct" 방법 : 최적 경로의 표현형태, 즉 대이터값에서 직점 모터의 회전력과 매니퓰레이터의 힘을 계산해서 제어하는 방법 [1,2]
- 2) "adaptive" 방법 : 먼저, 매니퓰레이터의 간단한 수학적 모델을 구성하고 매니퓰레이터에서와 같은 입력을 이 모델에 인가한다. 이때 발생하는 출력의 오차를 이용하여 매니퓰레이터 출력과 거의 같도록 변수 제어 파라메타를 조정하여 최적화 하는 방법 [3]
- 3) "anthropomorphic" 방법 : 로보트를 제어하는데 있어, 인간이 자신의 손방의 움직임을 제어하는 원리를 이용하는 방법 [4] 이외에도 다음과 같이 최적 제어 이론을 활용하는 방법도 있다. 먼저, 이상적인 움직임의 최소화를 평가지표로 설정한다. 그리고 계루우프 형태의 제어 시스템이 구성되면, 작은 이탈값에도 대처할 수 있는 부가적인 보상기 계란을 달아준다. 이러한 형태의 제어값들이 매니퓰레이터를 제어하는데 사용된다.

II. 최적 제어 이론

다음과 같이 1 개 미분 방정식으로 나타나는 시스템을 생각해 보자.

SYSTEM :

$$\dot{x}(t) = f(x(t), u(t), p) : x(t_0) = x_0 \quad \cdots \cdots (2.1)$$

여기서, x : n 차 상태 벡터
 u : m 차 입력 제어 벡터
 p : 1 차 조정 가능한 파라메타 벡터
 f : n 차 비선형 벡터 함수 (x, u , p 에 대해 미분 가능하고, 시간 간격은 $t \in [t_0, t_f]$)

로보틱 매니퓰레이터의 최적 경로 제어

제어 문제는 초기조건 x 에서부터 식(2.1)의 비선형 시스템이 진행해 나갈 때 평가지표 $J(u, p) = \Psi(p) + \int_{t_0}^{t_f} L(x(t), u(t)) dt$

를 최소화하는 파라메타 p 와 입력제어 $u(t)$ 를 구하는 것이다.

제약 조건 : $x_i = X_i - X_{oi}$

X_{oi} : 이상적인 최적 경로 값

X_i : 실질적인 경로 값

이제 최적 제어 문제를 순서쌍 $(p, u(t))$ 로 이루어진 공간 V 에서 생각해 보자. 여기서,

$$p \in E^l, u(t) \in L_2^m[t_0, t_f]$$

$$\text{즉}, V = E^l \times L_2^m[t_0, t_f]$$

이때 $v_1, v_2 \in V$ 인 두 벡터의 경우, 내적이 $\langle v_1, v_2 \rangle = \int_{t_0}^{t_f} v_1^T v_2 dt + p_1^T p_2$

와 같이 정의되고, 크기(norm)가

$$\|v\| = \sqrt{\langle v, v \rangle}$$

와 같이 정의되면 V 는 Hilbert 공간이다.

이러한 공간내에서의 비선형 시스템에 대한 최적화 문제의 해는 conjugate gradient 알고리즘을 이용하여 최적값 v^* 을 구할 수 있고, 이 알고리즘을 구성하기 위해서 gradient 벡터값이 필요하다. [6] 따라서, 만약 비선형 시스템을

정의 : $\dot{x}_{nm} = L(x(t), u(t)) ; x_{nm}(t_0) = 0$
---(2.3)

라 하면, 식(2.2)은 식(2.4)의 형태로 나타낼 수 있다. 즉,

$$J(u, p) = \phi(x(t_f), p) \quad ---(2.4)$$

그리고 $J(u, p)$ 의 gradient는

$$g(v) = (\nabla_p \phi) \quad ---(2.5)$$

와 같이 주어진다. 여기서,

$$\begin{aligned} g_p &= \int_{t_0}^{t_f} f_p^T z(t) dt + \nabla_p \phi \\ g_u &= f_u^T z(t) ; z(t_f) = \nabla_x \phi(x(t_f), p) \end{aligned} \quad ---(2.6)$$

$z(t)$ 는 adjoint 시스템 [7]의 해이다. 이때, conjugate gradient 방법은 $J(u, p)$ 의 gradient가 0이 될 때의 v 값을 구하여 최소화된 v^* 값을 얻어내는 것이다.

III. 로보트 팔의 최적 제어

그림 1에서 보여 주고 있는 로보트 팔을 생각해 보자. 이 시스템에 오일러- 타그란지(Euler-Lagrange)방법을 적용하면,

$$\begin{aligned} (m + m_L) \ddot{r} - (m + m_L) r \dot{\theta}^2 + m \dot{r} \dot{\theta} / 2 &= f(t) \\ (k - mr \ddot{\theta} + (m + m_L) r^2) \ddot{\theta} &+ ((2(m + m_L)r - ml)\dot{\theta}) \dot{\theta} = M(t) \end{aligned} \quad ---(3.1)$$

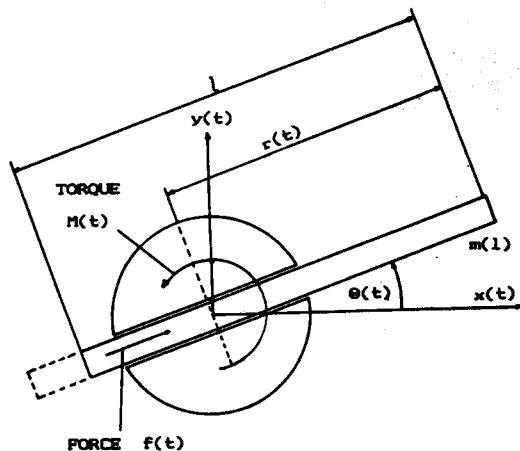


그림 1. 로보트 팔

여기서, $r(t), \theta(t)$: 일반화된 위치좌표

m^* : 수직 기동의 질량

r^* : 수직 기동의 반경

m_L : 부하(load)의 질량

m : 중심점에서의 질량

$$k = (k) m^* r^{*2} + (k) m^2$$

k 같은 관성 모우멘트이다. 이때 세로운 상태 변수를 정의하여, 이와 같은 2 개 비선형 미분 방정식을 1 개 미분 방정식으로 변환시킬 수 있다. 즉,

정의 : $X_1 = r$

$$\begin{aligned} X_2 &= \dot{r} , \quad U = \begin{pmatrix} U_1 \\ U_2 \end{pmatrix} = \begin{pmatrix} f(t) \\ M(t) \end{pmatrix} \\ X_3 &= \theta \\ X_4 &= \dot{\theta} \end{aligned}$$

이러한 정의로 부터

$$\dot{X}_1 = X_2$$

$$\dot{X}_2 = X_1 X_4^2 - 0.429 X_4^3 + 0.0286 U_1$$

$$\dot{X}_3 = X_4$$

$$\dot{X}_4 = \frac{-2X_1 X_3 X_4 + 0.857 X_3 X_4 + 0.0286 U_2}{X_1^2 - 0.857 X_1 + 0.344} \quad ---(3.2)$$

여기서, 임의적으로 $m = 20 \text{ Kg}$, $l = 1.5 \text{ m}$, $m^* = 40 \text{ Kg}$, $r^* = 0.2 \text{ m}$, $m_L = 15 \text{ Kg}$, $k = 12.05$ 를 선택한다.

이때의 제어 문제는 이상적인 최적 경로가 $X_{oi} = (0.775, 0, 0.75, 0)$ 에서 $X_{of} = (1.125, 0, 1.5, 0)$ 까지 식(3.2)로 표시되는 역학을 갖는다고 가정할 때, 제어 벡터 $U^T(t) = (U_1(t), U_2(t))$ 를 선택하는 것이다. 여기서 X_i 값을, 상태 변수 $x_i = X_i - X_{oi}$ 를 이용하여 (3.3) 식과 같이 치값으로 나타낼 수 있다. 즉,

$$\begin{aligned}\dot{x}_1 &= x_2 \\ \dot{x}_2 &= 0.696 x_4^2 + x_1 x_4^2 + 0.0286 u_1 \\ \dot{x}_3 &= x_4 \\ \dot{x}_4 &= \frac{-1.393 x_2 x_4 - 2 x_1 x_2 x_4 + 0.0286 u_2}{x_4^2 + 1.393 x_1 + 0.6455} \end{aligned} \quad \text{---(3.3)}$$

이때 초기 조건 $x^T(t_0) = (-0.35, 0, -0.75, 0)$ 을 갖는다. 상태 변수 $x(t)$ 와 제어 변수는 이제 X_{02} 에서 발생하는 오차 값이다. 여기서, 최적 제어 문제는 역학 방정식 (3.3)을 만족하는 비용 함수.

$$J = \int_{t_0}^{t_f} (x^T O x + u^T R u) dt \quad \text{---(3.4)}$$

를 최소화 하는 $u(t)$ 를 선택하는 것이다.

정의 : $O = \begin{bmatrix} 200 & 0 & 0 & 0 \\ 0 & 0 & 0 & 0 \\ 0 & 0 & 450 & 0 \\ 0 & 0 & 0 & 0 \end{bmatrix}, R = \begin{pmatrix} 1 & 0 \\ 0 & 1 \end{pmatrix}$

따라서, 비용 함수 J 를 x_f 로 참고 상태 변수를 재전개하면, 이때의 최적 제어 문제는

$$\begin{aligned}\dot{x}_1 &= x_2 \\ \dot{x}_2 &= 0.696 x_4^2 + x_1 x_4^2 + 0.0286 u_1 \\ \dot{x}_3 &= x_4 \\ \dot{x}_4 &= \frac{-1.393 x_2 x_4 - 2 x_1 x_2 x_4 + 0.0286 u_2}{x_4^2 + 1.393 x_1 + 0.6455} \\ \dot{x}_5 &= 50(2x_1^2 + 4.5x_3^2) + 8(u_1^2 + u_2^2) \end{aligned}$$

$$\text{초기 조건 } x^T(0) = (-0.35, 0, -0.75, 0, 0) \quad \text{---(3.5)}$$

를 만족하는 J 를 최소화하는 $U(t)$ 를 구하는 것이다. 여기서, adjoint 시스템은

$$\text{ADJOINT SYSTEM : } \dot{Z}(t) = -f_x^T Z(t) \quad \text{---(3.6)}$$

과 같이 나타낼 수 있고, 이때 f_x 는

$$f_x = \begin{bmatrix} 0 & 1 & 0 & 0 & 0 \\ x_4^2 & 0 & 0 & 2x_4(0.696+x_1) & 0 \\ 0 & 0 & 0 & 1 & 0 \\ f_{x1} & \frac{-1.393x_2-2x_1x_4}{\text{den}} & 0 & \frac{-1.393x_2+2x_1x_4}{\text{den}} & 0 \\ 200x_1 & 0 & 450x_3 & 0 & 0 \end{bmatrix}$$

$$Z^T(t_f) = (0, 0, 0, 0, 1)$$

이다. 여기서, $f_{x1} = \frac{(-2x_2x_4)\text{den} - (2x_1 + 1.393)(-1.393x_2x_4 - 2x_1x_2x_4 + 0.0286u_2)}{(\text{den})^2}$

$$\text{den} = x_4^2 + 1.393x_1 + 0.6455$$

따라서, GRADIENT 벡터는

$$g(u(t)) = \begin{pmatrix} 0.0286 z_2(t) + u_1(t) z_5(t) \\ 0.0286/\text{den} z_4(t) + u_2(t) z_5(t) \end{pmatrix} \quad \text{---(3.7)}$$

가 된다.

IV. 시뮬레이션 및 고찰

본 논문에서, 최적 제어값 U^* 을 구하기 위한 알고리즘은 conjugate gradient method 을 이용하여 구성하였다.

여기서 gradient 벡터 S 값을 구하는데 필요 한 상태 $x(t)$ 값과 adjoint 시스템의 해 $Z(t)$ 값은 Runge Kutta integration 방법 [7,8]을 이용하여 얻어내고, 전상태에 대한 증가분 Δ 는 [5]에 있는 식을 이용하여 구한다. 즉,

$$\Delta(t) = \frac{-\nabla J(u)^T S(t)}{S(t)^T R S(t)}$$

단, $S(t)^T R S(t) > 0$

이때 초기 $x(0)$, $z(0)$ 값은 주어지며, $U(0)$ 값은 임의로 설정한다. 또, $S(0) = -g(0)$ 이다.

이 프로그램의 결과 값 U 와 그때의 상태 값 X 는 그림 2와 그림 3에 도시되어 있다. 여기서 $U(0)$ 값은 임의로, $U_1 = 1.5$, $U_2 = 5.5$ 라 가정하였다. 이때, U_1 과 U_2 값은 각각 6 초, 6 초일 때 0에 수렴하고 경로오차값 x_1, x_2, x_3, x_4 는 각각 5 초, 7 초, 6 초, 3 초후 0에 수렴하게 된다.

따라서, 약 7 초후 이상적인 최적 경로와 실제 경로가 일치하게 될 수 있다.

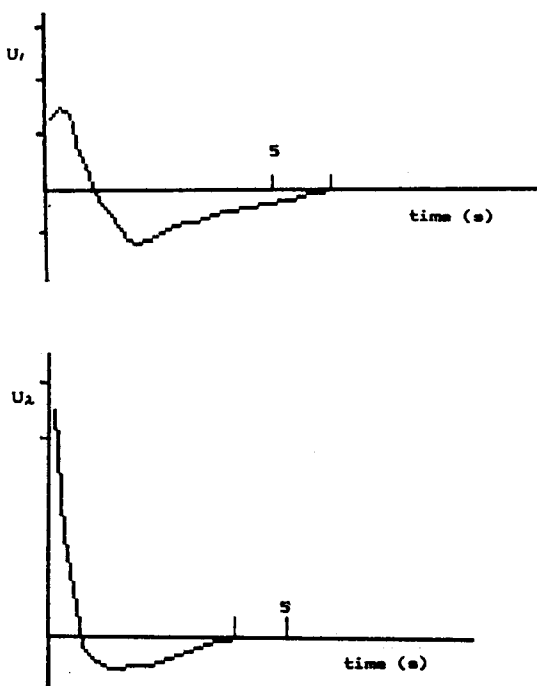


그림 2. 최적 제어

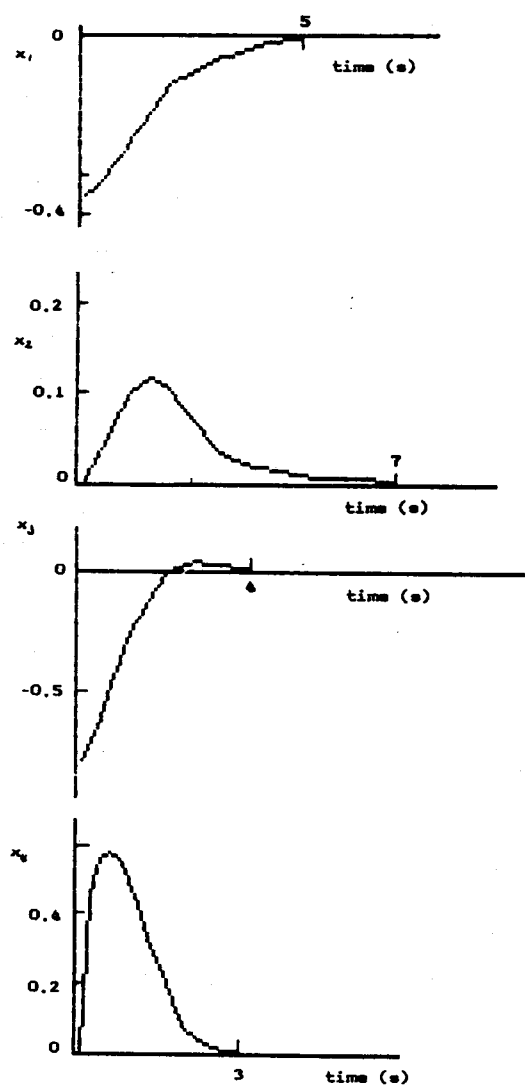


그림 3. 최적 경로

V. 결론

본 논문에서는 3 장에서의 로보틱 매니퓰레이터가 목적이까지 최적 경로를 따라 이동하는데 있어 발생하는 경로 오차를 상태치로 설정하고 이에 대한 경로를 최적화하기 위한 최적 제어법식 U* 및 4 장에 나와있는 conjugate gradient 알고리즘과, 차기 상태의 x 값과 u 값을 업데이트한 편지 무타 방법(Runge Kutta Method)을 이용하여 알아냈다. 이에 대한 결과치를 통해서 약 7초 후, 이상적인 최적 경로와 실제 경로가 일치함을 알 수 있었다.

REFERENCES

- [1] J. Y. S. Luh, M. W. Walker and R. P. C. Paul, ASME Trans., J. Dynamic Systems Measurement and Control 102 (1980).
- [2] J. M. Hollerbach, IEEE Trans. SMC-10(1980).
- [3] S. Dubowsky and D. T. Defforges, Trans. ASME, J. Dynamic Systems Measurement and Control 101 (1979).
- [4] J. S. Albus, Trans. ASME, J. Dynamic Systems Measurement and Control (1975).
- [5] H. Mukai, A scheme for determining step size for unconstrained optimization methods, IEEE Trans. on Automatic Control AC-23(6) (1978).
- [6] Y. Barnes and I. G. Ben-Tovim, Int. J. Systems Sci. 7(4), 361-368 (1976).
- [7] K. Ogata, State Space Analysis of Control Systems, Prentice-Hall, pp 374-376 (1984).
- [8] J. L. Melea and S. K. Jones, Computer Programs for Computational Assistance In The Study of Linear Control Theory, 2nd, pp 165 - 166, 179 (1973).

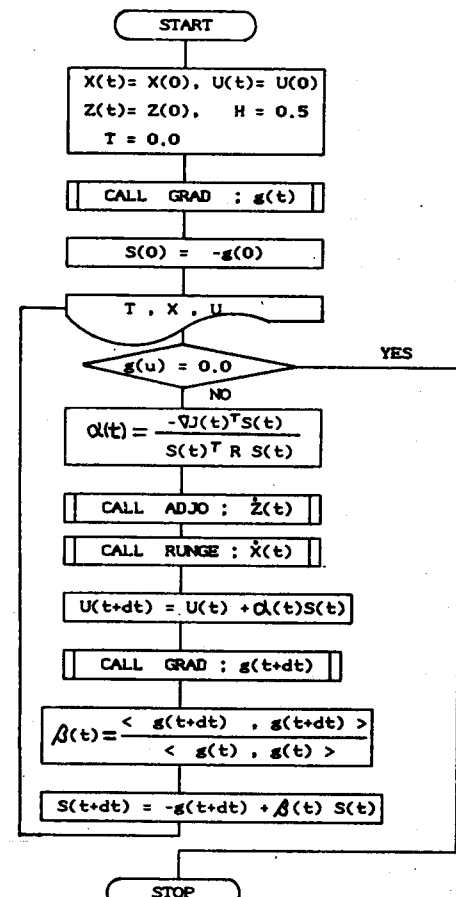


그림 4. 시뮬레이션을 위한 오픈도